

УДК 541.6:541.49

РЕНТГЕНОВСКОЕ ФОТОЭЛЕКТРОННОЕ ИЗУЧЕНИЕ  
ЭЛЕКТРОННОГО СТРОЕНИЯ КОМПЛЕКСОВ Cu(II)  
С ДИА- И ПАРАМАГНИТНЫМИ ПРОИЗВОДНЫМИ 2-ИМИДАЗОЛИНА

А.Д. Федоренко<sup>1</sup>, Л.Н. Мазалов<sup>1</sup>, И.М. Оглезнева<sup>1</sup>, Е.Ю. Фурсова<sup>2</sup>, В.И. Овчаренко<sup>2</sup>

<sup>1</sup>Институт неорганической химии им. А.В. Николаева СО РАН, Новосибирск, Россия  
E-mail: fad007@yandex.ru

<sup>2</sup>Институт "Международный томографический центр" СО РАН, Новосибирск, Россия

Статья поступила 20 января 2015 г.

С доработки — 3 февраля 2016 г.

Проведено исследование электронного строения свободных радикалов и комплексов Cu(II) с нитронилнитроксильным радикалом и аминонитроном методом рентгеновской фотоэлектронной спектроскопии (РФЭС). РФЭ N1s-спектры атомов азота комплексов Cu(II) с аминонитронами подтвердили диамагнитную природу лигандов. Энергии связи главного пика и интенсивная сателлитная структура в Cu2p<sub>3/2,1/2</sub>-спектрах изучаемых комплексов соответствуют состоянию Cu(II). Структура сателлита Cu2p<sub>3/2,1/2</sub>-спектра зависит от окружения иона металла.

DOI: 10.15372/JSC20160609

**Ключевые слова:** нитроксильные радикалы, комплексы меди с нитроксильными лигандами, рентгеновская фотоэлектронная спектроскопия.

**ВВЕДЕНИЕ**

Магнитные свойства комплексов Cu(II) с лигандами, имеющими в своем составе нитроксильную группу (NO<sup>•</sup>), определяются характером электронных взаимодействий парамагнитных центров Cu(II) и NO<sup>•</sup>. Это обуславливает актуальность изучения характера распределения электронной плотности в свободных нитроксильных радикалах и в комплексах Cu(II) с соответствующими нитроксильными лигандами, а также возможных каналов делокализации электронной и спиновой плотности при координации лигандов ионом металла.

Наибольший интерес представляют значения энергии связи РФЭ N1s- и O1s-линий атомов азота и кислорода фрагмента {ONCNO}. РФЭ N1s-спектры представляют собой суперпозицию рентгеноэлектронных линий, связанных с каждым атомом азота, входящим в состав изучаемых некоординированных и координированных нитроксильных радикалов. Энергия связи внутренних 1s-уровней атомов азота зависит от величины результирующей электронной плотности на соответствующих атомах. В этой связи определение энергии уровней атомов азота в изучаемых радикалах и комплексных соединениях позволяет сделать заключение об особенностях распределения электронной плотности в этих соединениях.

Изучение электронной структуры различных соединений Cu(II) методом рентгеновской фотоэлектронной спектроскопии постоянно привлекает внимание исследователей [1—3], проявляющих интерес к исследованию особенностей электронно-дырочных взаимодействий в веществах с сильными электронными корреляциями, таких как сверхпроводящие купраты [4], оксиды и сульфиды меди [5, 6], дихалькогиниды меди [7, 8]. Как показано в работе [9] ана-

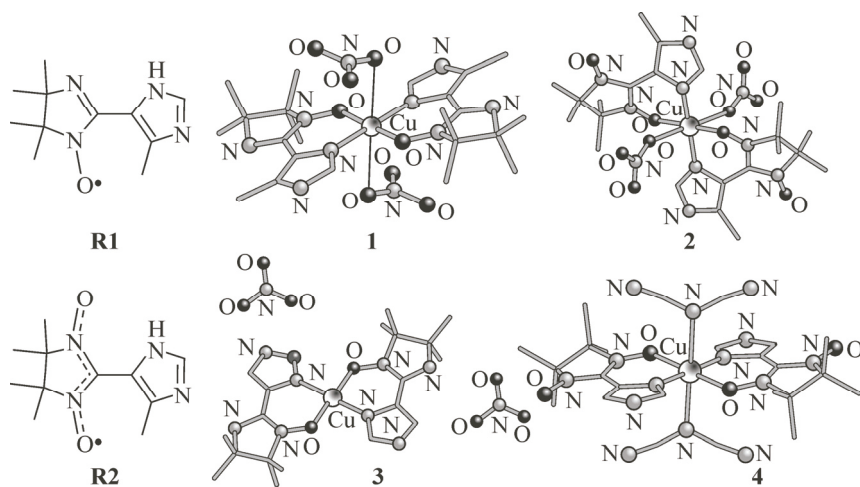


Схема 1. Структурные формулы радикалов (**R1** и **R2**)  
и строение молекул исследованных комплексов Cu(II)

лиз сателлитной структуры РФЭ Cu2p<sub>3/2,1/2</sub>-спектров дает ценную информацию о характере электрон-электронных и электрон-дырочных взаимодействий в изучаемых системах.

В связи с этим в настоящей работе проведено изучение радикалов **R1**—**R2** и комплексов меди **1**—**4** (схема 1) методом РФЭС.

#### ЭКСПЕРИМЕНТАЛЬНЫЕ ИССЛЕДОВАНИЯ

Рентгеновские фотоэлектронные спектры получены на спектрометре ESCA-scan VG Microtech LDT. Для возбуждения спектров использовали MgK<sub>α</sub>-линию (1253,6 эВ). Энергия пропускания анализатора электронов 50 эВ. Съемку проводили при комнатной температуре, вакуум в рабочей камере спектрометра  $\sim 10^{-7}$  Торр. Калибровку спектров проводили по энергии связи C1s-линии атомов углерода CH<sub>3</sub>-групп,  $\varepsilon(\text{C}1\text{s}) = 285,0$  эВ. Для разложения РФЭ-спектров на компоненты использовали программу XPSPeak 4.1, вычитание фона проводили по методу Ширли.

**РФЭС стабильных нитроксильных радикалов.** При интерпретации РФЭ-спектров нитроксильных радикалов, содержащих фрагмент {ONCNO}, необходимо учитывать возможность процессов химического превращения — дезоксигенирования при взаимодействии нитроксила с подложкой. При этом в РФЭ-спектрах будут наблюдаться дополнительные компоненты, соответствующие неэквивалентным атомам азота продуктов реакции нитронилнитроксила [10].

В случае иминонитроксила **R1** не наблюдается деградации образца (рис. 1, *a*). Низкоэнергетическая особенность *1* в РФЭ C1s- и O1s-спектрах с энергиями связи 283,0—283,3 и 529,0—529,2 эВ соответственно наблюдается для всех исследуемых веществ и соответствует карбоксильным и оксидным загрязнениям в спектрометре. Число остальных компонент в РФЭ спектрах C1s, N1s и O1s соответствует числу неэквивалентных групп атомов углерода (2 — группа CH<sub>3</sub>, 3 — фрагменты N—C и N=C—N, 4 — фрагмент {ONCN}), азота (1 — группа C=N—C, 2 — группа NH, 3 — группа ON<sup>•</sup>) и кислорода (2 — группа ON<sup>•</sup>), а их интенсивности — числу атомов в каждой группе (см. рис. 1, *a*).

Чтобы учесть образование соединений при деградации образца для нитронилнитроксила **R2** в РФЭ N1s-спектр помимо основных компонент были добавлены компоненты с заданными энергиями связи и относительными интенсивностями (см. рис. 1, *b*), которые соответствуют диамагнитной (образуется связь N—H) и парамагнитной молекуле (иминонитроксилу). Как видно из рис. 1, *b*, интенсивность данных компонент (*D*) находится на уровне фона. Однако в высокоэнергетической области РФЭ N1s-спектра наблюдается дополнительная линия *4* с энергией связи 404,0 эВ, которая может отвечать сателлитным переходам для атомов азота фрагмента {ONCNO}. С другой стороны, энергия связи линии *4* также соответствует атомам азота NO<sub>2</sub>-

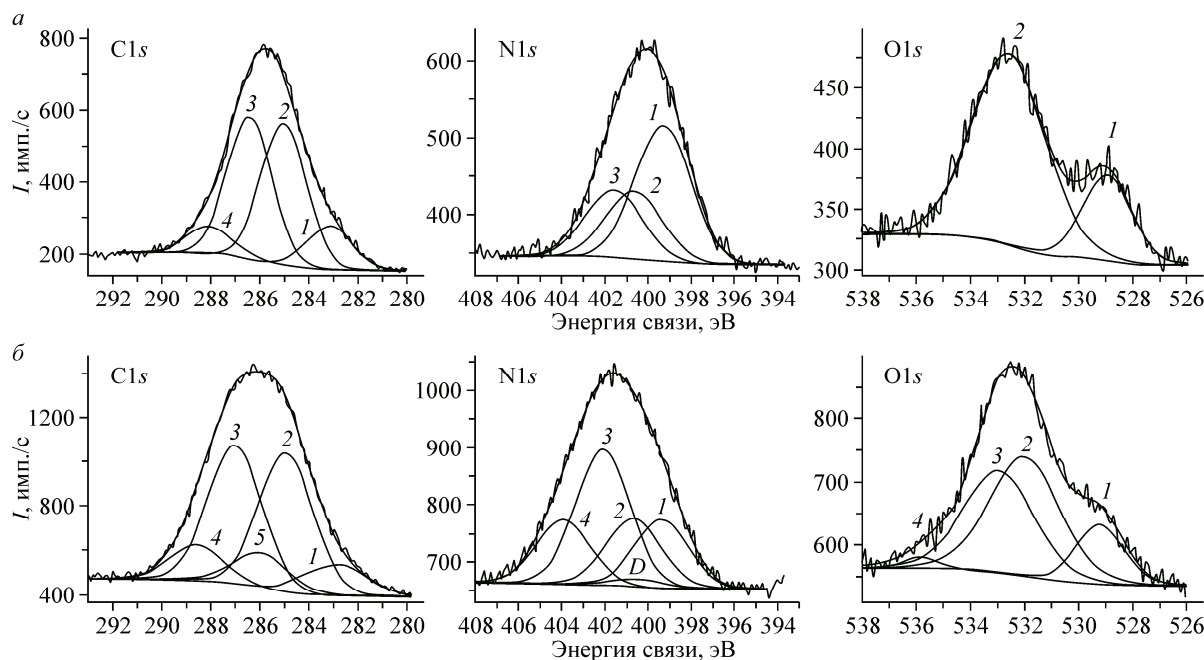


Рис. 1. РФЭ C1s-, N1s- и O1s-спектры нитроксилов R1 (а) и R2 (б)

группы. Если предположить, что есть примесь NO<sub>2</sub>-группы, то в РФЭ O1s-спектре радикала R2 должна наблюдаться дополнительная линия, близкая по интенсивности основной линии 2 и с энергией связи порядка 532,6—533,6 эВ. На рис. 1, б видно, что в РФЭ O1s-спектре наблюдается интенсивная компонента 3, следовательно, в данном образце присутствует NO<sub>2</sub>-группа. Линия 4 с энергией связи 534,0 эВ в РФЭ O1s-спектре R2 скорее всего относится к сателлитной структуре фрагмента {ONCNO}, характерной для нитронилнитроксильных радикалов. В РФЭ C1s-спектре присутствует дополнительная линия 5, соответствующая атому углерода имидазольного фрагмента, связанному с атомом углерода фрагмента {ONCNO}.

**РФЭС комплексов меди с нитроксильными лигандами.** РФЭ C1s-спектры комплексов 1—4 имеют такие же компоненты, что и свободные нитроксили (рис. 2). РФЭ N1s-спектры комплексов 1, 2, 3 содержат по четыре компоненты, соответствующие четырем неэквивалентным группам азота, а спектр комплекса 4 — три компоненты (1 — группа C=N—C, 2 — группа N—H, 3 — группа ON<sup>+</sup>, 5 — группа NO<sub>3</sub>). Для учета возможной деградации образцов в РФЭ N1s-спектр комплексов 2 и 4 были добавлены компоненты (D) с заданными энергиями связи и относительными интенсивностями, которые соответствуют положению линий для комплекса 1 (см. рис. 2, а). Содержание дезоксигенированных лигандов в комплексах 2 и 4 составляет величину порядка 40 и 20 % соответственно. Следовательно, при разложении РФЭ O1s- и Cu2p-спектров необходимо учитывать линии от атомов деградировавших комплексов. Комплекс 4 содержит три молекулы воды, что проявляется в РФЭ O1s-спектре в виде дополнительной линии 6 с энергией связи 531,9 эВ.

РФЭ Cu2p<sub>3/2,1/2</sub>-спектры комплексов 1—4 имеют сложную структуру (рис. 3), характерную для Cu(II). Общепринятой моделью, используемой для интерпретации РФЭ-спектров меди, является модель переноса заряда [11—14]. Возбужденное состояние многоэлектронной системы описывается суперпозицией электронных конфигураций: слабо экранированной |2p<sup>5</sup>3d<sup>9</sup>⟩ и сильно экранированной конфигурацией |2p<sup>5</sup>3d<sup>9</sup>L⟩, где L — групповые орбитали лиганда; L — означает наличие дырки, локализованной на орбиталах лиганда.

РФЭ Cu2p<sub>3/2</sub>- и Cu2p<sub>1/2</sub>-спектры комплексов 1 и 3 были разложены на четыре линии: линии 1 и 1' относятся к сильно экранированной конфигурации |2p<sup>5</sup>3d<sup>9</sup>L⟩, а линии 2 и 2' — к неэкранированной конфигурации |2p<sup>5</sup>3d<sup>9</sup>⟩. В РФЭ Cu2p<sub>3/2</sub>- и Cu2p<sub>1/2</sub>-спектрах комплексов 2 и 4 учтены дополнительные линии D, соответствующие атомам меди деградировавших молекул. За вели-

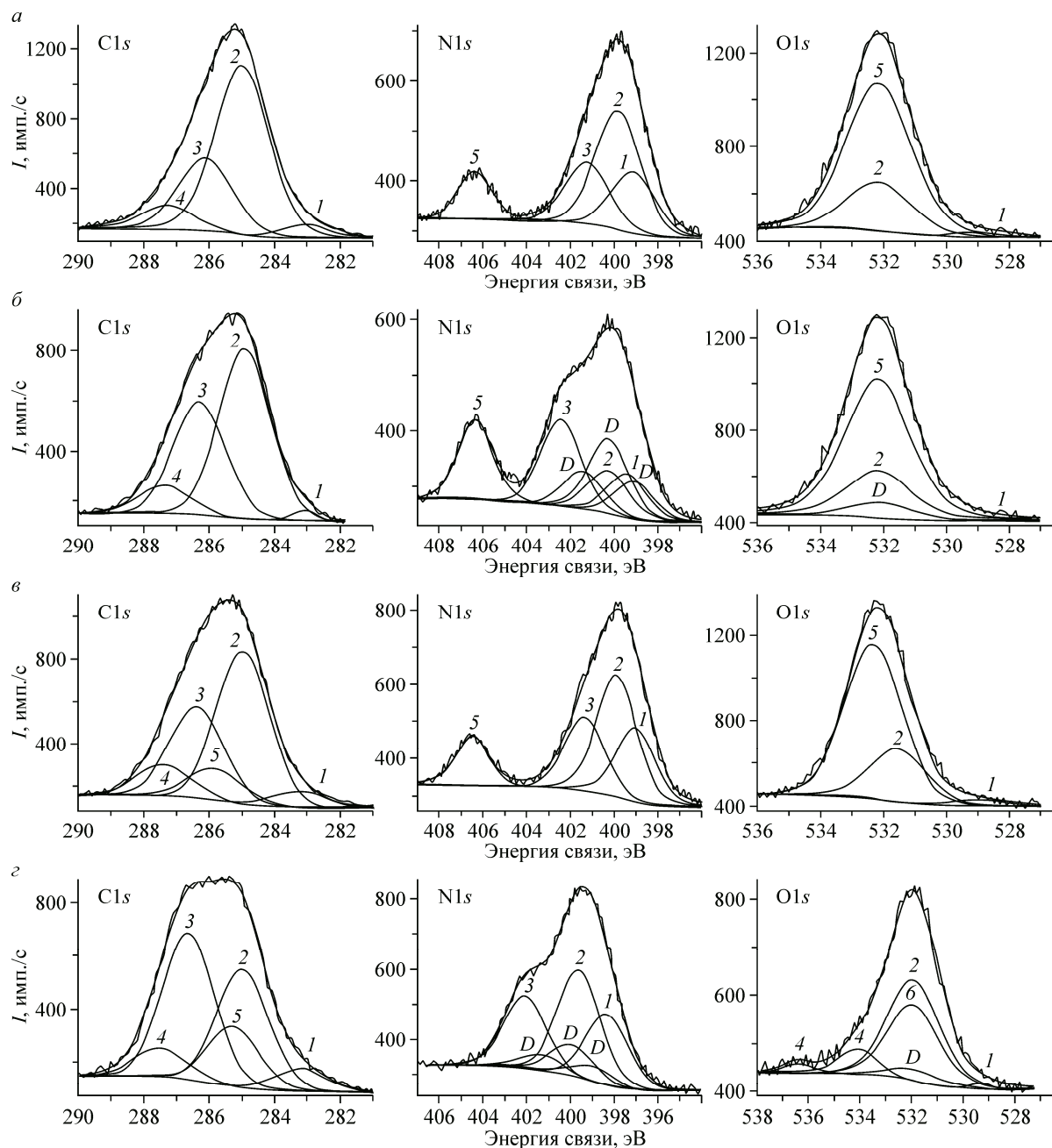
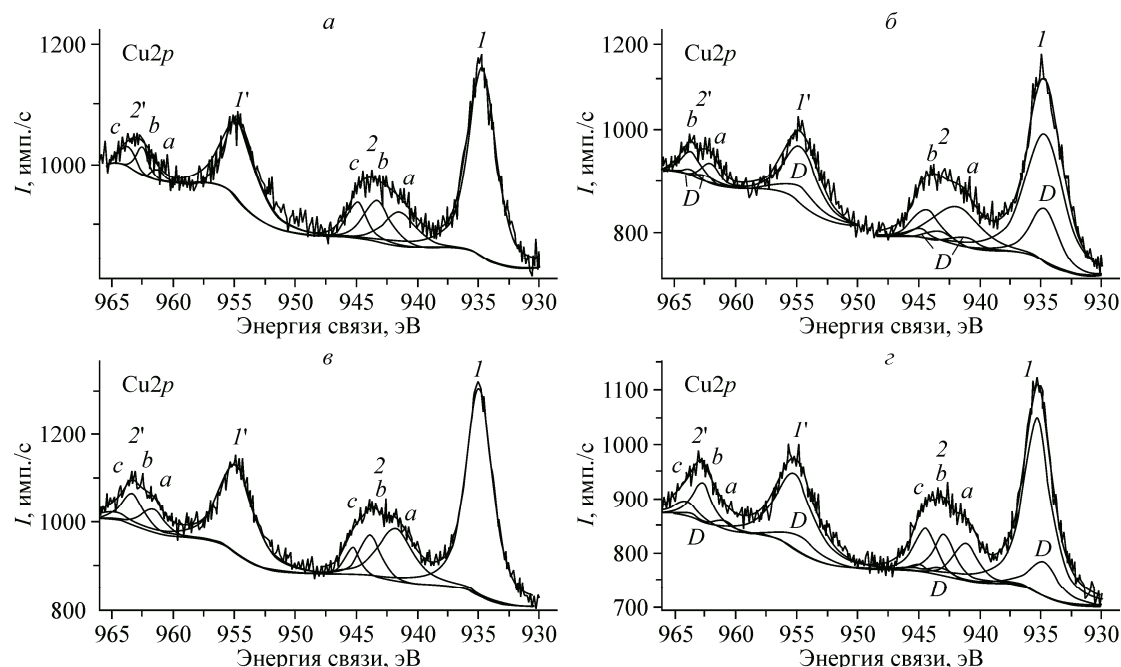


Рис. 2. РФЭ C1s-, N1s- и O1s-спектры комплексов 1—4 (a—e)

чину энергий связи и относительных интенсивностей линий деградировавших комплексов принимались соответствующие значения для комплекса 1.

#### РЕЗУЛЬТАТЫ И ИХ ОБСУЖДЕНИЕ

**Стабильные нитроксильные радикалы.** Для иминонитроксильного радикала **R1** энергетическое положение линии 3, соответствующей атому азота ON<sup>•</sup>-группы, в РФЭ N1s-спектрах близко по величине к таковой для радикалов ряда пиразол-1-окиля и 3-имидазолин-1-оксила (см. таблицу), в то время как для **R2** энергия связи линии 3 является характерной для нитронилнитроксилов. Однако энергетическое положение линии 2, соответствующей атому кислорода группы ON<sup>•</sup>, в РФЭ O1s-спектре радикала **R2** выше, чем для нитронилнитроксилов с фенильными заместителями.

Рис. 3. РФЭ Cu2p<sub>3/2,1/2</sub>-спектры комплексов 1—4 (а—е)

Энергии связи C1s, N1s, O1s и Cu2p уровней в радикалах R1—R2 и комплексах 1—4  
и отношение интенсивностей *N* для каждой неэквивалентной группы

Соединение	C1s, эВ	<i>N</i>	N1s, эВ	<i>N</i>	O1s, эВ	<i>N</i>	Cu2p <sub>3/2</sub> , эВ	Cu2p <sub>1/2</sub> , эВ
<b>R1</b>	283,1 (1)	—	399,3 (1)	2	529,0 (1)	—	—	—
	285,0 (2)	5	400,6 (2)	1	532,6 (2)	1	—	—
	286,5 (3)	5	401,6 (3)	1	—	—	—	—
	288,1 (4)	1	—	—	—	—	—	—
<b>R2</b>	283,0 (1)	—	399,3 (1)	1	529,2 (1)	—	—	—
	285,0 (2)	4	400,7 (2)	1	532,0 (2)	1	—	—
	285,1 (5)	1	402,1 (3)	2	532,9 (3)	—	—	—
	286,7 (3)	4	404,0 (4)	—	535,9 (4)	—	—	—
	288,4 (4)	1	—	—	—	—	—	—
<b>1</b>	283,3 (1)	—	399,1 (1)	1	539,1 (1)	—	934,7 (1)	954,6 (I')
	285,0 (2)	7	399,9 (2)	2	532,1 (2)	1	941,4 (2a)	961,3 (2a')
	286,1 (3)	3	401,3 (3)	1	532,2 (5)	3	943,3 (2b)	962,6 (2b')
	287,3 (4)	1	406,4 (5)	1	—	—	944,9 (2c)	963,8 (2c')
<b>2</b>	283,1 (1)	—	399,4 (1)	1	529,0 (1)	—	934,7 (1)	954,6 (I')
	285,0 (2)	6	400,3 (2)	1	532,1 (2)	2	941,9 (2a)	962,0 (2a')
	286,3 (3)	4	402,4 (3)	2	532,2 (5)	3	944,4 (2b)	963,7 (2b')
	287,4 (4)	1	406,3 (5)	1	—	—	—	—
<b>3</b>	283,2 (1)	—	399,0 (1)	1	529,0 (1)	—	934,9 (1)	954,8 (I')
	285,0 (2)	4	399,9 (2)	2	531,5 (2)	1	941,7 (2a)	961,6 (2a')
	285,9 (5)	1	401,3 (3)	1	532,3 (5)	3	943,8 (2b)	963,3 (2b')
	286,4 (3)	4	406,5 (5)	1	—	—	945,3 (2c)	964,8 (2c')
	287,4 (4)	1	—	—	—	—	—	—
<b>4</b>	283,2 (1)	—	398,3 (1)	2	529,0 (1)	—	935,2 (1)	935,1 (I')
	285,0 (2)	4	399,6 (2)	3	531,9 (2)	2	941,1 (2a)	961,0 (2a')
	285,3 (5)	2	402,1 (3)	2	531,9 (6)	3	942,9 (2b)	963,0 (2b')
	286,6 (3)	5	—	—	534,1 (4)	—	944,5 (2c)	964,1 (2c')
	287,5 (4)	1	—	—	536,4 (4)	—	—	—

**Электронное строение комплексов Cu(II) с нитроксильными лигандами.** Отношение интенсивностей линий 1, 2, 3 в РФЭ N1s-спектрах комплексов **1** и **3** свидетельствует о наличии двух атомов азота, образующих связь N—H. Следовательно, в состав данных комплексов входят диамагнитные лиганды (аминонитроны) и неспаренные электроны находятся только на ионах Cu(II). РФЭ N1s-спектры комплексов **2** и **4** свидетельствуют о парамагнитных лигандах (деградировавшие молекулы в основном содержат диамагнитные лиганды).

Также следует отметить, что энергия связи линии 5 в РФЭ N1s- и O1s-спектрах, соответствующая атомам азота и кислорода групп NO<sub>3</sub>, уменьшается на 0,1—0,2 эВ при координации NO<sub>3</sub>-групп ионом меди для комплексов **1** и **2** по сравнению с некоординированными NO<sub>3</sub>-группами в **3**.

Для комплексов **1** и **3** энергия связи линии 3 в РФЭ N1s-спектрах атомов азота группы NO уменьшается на 0,3 эВ при координации лиганда, в то время как для комплекса **2** увеличивается на 0,3 эВ (см. таблицу). Энергетическое положение линии 2 в РФЭ O1s-спектрах атомов кислорода группы NO для комплекса **1** уменьшается на 0,5 эВ, а для комплекса **3** с некоординированными группами NO<sub>3</sub> изменение энергии достигает 1 эВ. Для комплексов **2** и **4** с нитронилнитроксилом значение энергии связи линии 3 остается неизменной (в пределах погрешности 0,1 эВ). Это свидетельствует о небольшом изменении электронной плотности на атомах фрагмента {ONCNO} при координации нитронилнитроксила ионом металла в **2** и **4**.

**Модель переноса заряда.** Линии 2 (2') в РФЭ Cu2p<sub>3/2,1/2</sub>-спектрах, обусловленные конфигурацией |2p<sup>5</sup>3d<sup>9</sup>⟩, являются компонентами мультиплета, расщепление которого связано с взаимодействием неспаренных электронов на 2p- и 3d-оболочках иона меди, а также с влиянием поля лигандов. Следует отметить, что спин-орбитальное расщепление для линий 1—1' составляет 19,9 эВ и является характерной величиной для Cu2p<sub>3/2,1/2</sub>-спектров. Однако разность между линиями 2c—2c' может отличаться на 0,1—0,8 эВ от значения 19,9 эВ и связана с окружением Cu(II), следовательно, с изменением параметров поля лигандов; она также зависит от спинового состояния соединения. Для комплекса **2** ион меди находится в октаэдрическом окружении, тогда как для комплекса **1** характерна центросимметричная квадратная структура, для комплекса **3** — моноклинная структура [15—17]. Отношение интенсивностей сателлитной структуры к главному пику I<sub>S</sub>/I<sub>M</sub> для изучаемых комплексов: **1** — 0,33; **2** — 0,38; **3** — 0,34; **4** — 0,38, протяженность сателлитной структуры для комплексов **1** и **3** составляет 10,2—10,4 эВ, что свидетельствует о делокализации орбиталей, тогда как для комплексов **2** и **4** эта величина составляет 9,3—9,9 эВ и соответствует меньшему влиянию орбиталей лиганда.

## ВЫВОДЫ

При координации нитронилнитроксила ионом меди в комплексах **2** и **4** происходит незначительное изменение энергии связи атомов азота и кислорода фрагмента {ONCNO}. В случае комплексов **1** и **3** с диамагнитными аминонитронами происходит значительное перераспределение электронной плотности. Следует обратить внимание на то, что вопрос об электронном строении органического лиганда в молекулах **1** не удалось решить, используя только данные рентгеноструктурного анализа [15], тогда как РФЭС однозначно подтвердили его диамагнитную природу, т.е. наличие аминонитронной группировки в координационной сфере металла.

Работа выполнена при поддержке гранта Российского фонда фундаментальных исследований № 14-02-31828 мол\_а и ФАНО России по теме 0333-2014-0002.

## СПИСОК ЛИТЕРАТУРЫ

1. Hufner S. Photoelectron spectroscopy. Berlin, New York: Springer—Verlag, 1995.
2. Kotani A., Toyozawa Y. // J. Phys. Soc. Jpn. — 1973. — **35**. — P. 1082 — 1088.
3. Van der Laan G., Westra C., Haas C., Sawatzky G.A. // Phys. Rev. B. — 1981. — **23**, N 9. — P. 4369 — 4380.
4. Мазалов Л.Н., Толстяков Д.М., Мурахтанов В.В., Осадчий М.С., Фомин Э.С. // Журн. структур. химии. — 1989. — **30**, № 5. — С. 78 — 81.
5. Осадчий М.С., Мурахтанов В.В., Фомин Э.С., Мазалов Л.Н. // ЖЭТФ. — 1992. — **101**, № 4. — С. 1259 — 1269.

6. *Li S., Wang H.Z., Xu W.W., Si H.L. Tao X.J., Lou S., Du Z., Li L.S.* // *J. Colloid and Interface Sci.* – 2009. – **330**. – P. 483 – 487.
7. *Larsson S.* // *Chem. Phys. Lett.* – 1976. – **40**, N 3. – P. 362 – 366.
8. *Shen Z.-X., Allen J., Yeh J., Kang J., Ellis W., Spicer W., Lindau I., Maple M., Dalichaouch Y., Torikachvili M., Sun J., Geballe Anderson T.* // *Phys. Rev. B.* – 1987. – **36**, N 16. – P. 8414 – 8428.
9. *Anderson P.W.* // *Phys. Rev.* – 1961. – **124**. – P. 41 – 53.
10. *Kakavandi R., Savu S.-A., Caneschi A., Chasser T., Casu M.B.* // *Chem. Commun.* – 2013. – **49**. – P. 10103 – 10105.
11. *Carniato S., Dufour G., Luo Y., Ågren H.* // *Phys. Rev. B.* – 2002. – **66**. – P. 045105 (1 – 12).
12. *Farrel W. Lytle et al.* // *Phys. Rev. B.* – 1988. – **37**, N 4. – P. 1550 – 1562.
13. *Larsson S., Braga M.* // *Chem. Phys. Lett.* – 1977. – **48**, N 3. – P. 596 – 600.
14. *Okada K., Kawai J., Kotani A.* // *Phys. Rev. B.* – 1993. – **48**, N 15. – P. 10733 – 10738.
15. *Fursova E., Romanenko G., Ikorskii V., Ovcharenko V.* // *Polyhedron.* – 2003. – **22**. – P. 1957 – 1964.
16. *Fursova E.Yu., Ovcharenko V.I., Romanenko G.V., Tretyakov E.V.* // *Tetrahedron Lett.* – 2003. – **44**. – P. 6397 – 6399.
17. *Fursova E., Romanenko G., Ikorskii V., Ovcharenko V.* // *J. Phys. IV France.* – 2004. – **114**. – P. 621 – 623.